

鋼桁橋製作 및 補強에 관한 研究

A Study of Fabrication and Strengthening of Plate Girder

徐 英 甲*
Suh, Young Kap

Abstract

Increasing of load on the highway bridge necessitate the strengthening of load capacity of bridge by some method. The method of strengthening is the usage of pre-stressing high tensile steel line.

Having finished pre-stressing work, line is anchored both end, then it composed a member of bridge structure when loading.

This paper includes the method and mechanism of strengthening of I-beam span(same originality of plate girder), could be summerized as following;

(a) Simple girder, 2 span and 3 span continuous girder increasing the load capacity by more than 80 % for concentrated load.

(b) For uniformly distributed load, when all span loaded, load capacity is increase more than 80 % to 100 % except 3 span continuous.

要 旨

鋼桁의 耐荷力不足을 鋼材를 使用한 蓋板 또는 部材로서 補強하였던 것이 從來의 工法이며 이것도 大部分 單純桁에 限定되었었다. 本 研究에서 單純桁 뿐만 아니라 2 徑間, 3 徑間連續도 高引張鋼(P.C 鋼線)으로 per-stress 하여 端部碇着한 補強材로 耐荷力の 增大을 顯著하게 보았다.

將次の 荷重增大을 考慮하여 鋼桁製作當時에 補強裝置를 미리 설치하여 現場架設 때 pre-stressing 하여 碇着시켜 놓던 目的은 達成된다.

이렇게 하면 單純桁, 2 徑間, 3 徑間連續桁이 最小 80 % 以上 耐荷力增加가 되고 全徑間 等分布荷重이 滿載될 때는 2 徑間連續 單純桁에서 約 100 %의 耐荷力增加가 許容된다.

I. 序 論

道路鋼桁橋는 設計荷重增大에 따라 既存 橋桁을 補強할 必要에 臨박하게 된다. 그러나 架設되어 使用中에 있는 橋桁은 補強하기에 여러가지 難點이 있다.

鋼桁製作時에 將次の 荷重增大을 豫想하여 橋桁의 耐荷力 즉 許容荷重에 充分한 餘裕가 있도록 하는 것이 賢策이다.

單純桁에 그림 1과 같이 中央點에 支壓材(Strut)이며 滑節이 되도록 하여 兩端의 圖心部에서 PC 鋼線을 緊張碇着 시키면 負모멘트가 생겨서 載荷時에 有利하게 된다.

*參與會員 · 高麗大學校 工科大學 土木工學科 教授

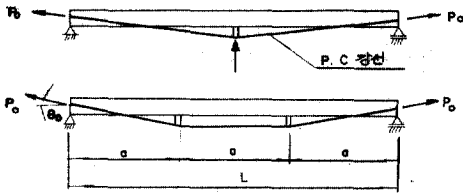


그림 1.

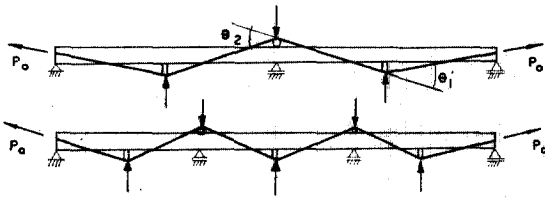


그림 2.

支壓材 2 個를 설치하여 그림의 $a = \frac{l}{3}$ 로 하면單純桁의 最大正모멘트 $wl^2/8$ (等分布荷重일 때) 과 等置하는 負모멘트를 생기게 할 수 있다.

連續桁이 2 徑間일 때 各 支間中央에 1 個支壓材의 滑節를 두어서 그림 2(a)와 같이 pre-stressing 하며, 3 徑間連續桁에서 그림 2(b)와 같이 pre-stressing 하면 (1) 實荷重載荷時의 反對方向의 pre-stressing 모멘트와 軸方向力(壓縮力)을 加하게 된다.

鈹桁橋를 製作하여 架設할 時期에 比較的 작은 斷面積을 補強하여 큰 斷面積에 比等할만한 耐荷力을 갖도록 하는 것이 이 研究의 目的이며 그림 1, 2와 같은 補強法(2)을 쓰는 것이다.

(1) 補強에 쓰이는 것은 PC 鋼線이며 效果的으로 pre-stressing 하기 위해서 鋼桁下緣에 支壓材를 설치하여 hinge 역할하게 하고 上緣에는 所定の 鋼圓環柱(3)를 설치하여 역시 hinge 하게 한다.

(2) 兩端圓心部에는 碇着裝置가 置中되는 鋼製箱子形을 붙인다.

(3) 支間 10m의 單徑間 2 徑間連續을 I 形鋼 (I-600×190)을 사용하였고 支間 14.7m의 3 徑間을 I-900×300을 사용하여 實例計算 하였

으며 이 原則은 鈹桁에 그대로 適用되며 普通 제일 많이 있는 I 形鋼道路橋에 프레스테네 cable 과 그 정착장치를 利用해서 쉽게할 수 있는 工法이다.

II. 緊張力(Pre-stressing Force) 決定

單純桁 連續桁의 兩端部에서 pre-stressing 하면 端部에 壓縮力이 作用하고 支間에서 上向力의 負 모멘트가 생기게 된다. 이 上向力은 2 徑間連續桁 3 徑間連續桁에서는 端部모멘트를 일으키어 모멘트의 分配現象을 惹起시킨다. 모멘트나 壓縮力으로 桁에 휨압축응력과 引張應力이 생기며 휨압축응력은 挫屈을 考慮한 許容應力 범위내에 들어야 한다.

單純桁에서 (그림 1 참조)

$$\frac{P_0 \cos \theta_0}{A} - \frac{P_0 \sin \theta_0 \times l/3}{Z} = -\sigma_{ca} \text{ (下緣)} \quad (1)$$

P_0 ... 긴장력 Z ... 斷面係數 A ... 斷面積

$$\frac{P_0 \cos \theta_0}{A} + \frac{P_0 \sin \theta_0 \times l/3}{Z} = \sigma_{ca} \text{ (上緣)} \quad (2)$$

σ_{ca} ... 許容휨압축응력

σ_{ca} ... 許容휨인장응력

(1), (2)로서 P_0 를 定할 수 있다.

2 徑間連續桁에서 (그림 2 참조)

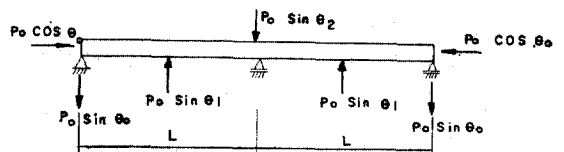


그림 3.

그림 3과 같은 外力이 생겨서 固定端모멘트 $\frac{P_0 \sin \theta_1 l}{8}$ 가 생겨서 다음과 같이 된다.

A	B
$\frac{P_0 \sin \theta_1 l}{8}$	$-\frac{P_0 \sin \theta_1 l}{8}$
$-\frac{P_0 \sin \theta_1 l}{8}$	$-\frac{P_0 \sin \theta_1 l}{16}$
0	$\frac{3P_0 \sin \theta_1 l}{16} + \frac{3P_0 \sin \theta_1 l}{16}$

$$M_B = -P_0 \sin \theta_0 l + P_0 \sin \theta_1 \frac{l}{2} + \frac{3P_0 \sin \theta_1 l}{16} \quad (3)$$

$$M_C = -P_0 \sin \theta_0 \frac{l}{2} - P_0 \sin \theta_1 \frac{l}{4} + \frac{3P_0 \sin \theta_1 l}{16} \times \frac{1}{2} \quad (4)$$

B 點에서

$$-\frac{P_0 \cos \theta_0}{A} \mp \frac{M_B}{Z} = \begin{cases} -\sigma_{ca} \\ \sigma_{ta} \end{cases} \quad (5)$$

C 點에서

$$-\frac{P_0 \cos \theta_0}{A} \mp \frac{M_C}{Z} = \begin{cases} \sigma_{ta} \\ -\sigma_{ca} \end{cases} \quad (6)$$

즉 P_0 를 決定할 수 있다.

3 徑間連續桁에서

그림 4와 같이 端部の PC 鋼線傾斜角이 θ_0 , 1, 3 徑間에서 θ_1 , 2 徑間에서 θ_2 될 때 그림 (b)와 같

A

B

$\frac{l_1 P_0}{8} \sin \theta_1$	$-\frac{l_1 P_0}{8} \sin \theta_1$	$+\frac{l_2 P_0}{8} \sin \theta_2$	
$-\frac{l_1 P_0}{8} \sin \theta_1 \rightarrow$	$-\frac{l_1 P_0}{16} \sin \theta_1$		
$\frac{2}{3} \left[\frac{l_1 P_0}{8} \sin \theta_1 - \frac{l_2 P_0}{8} \sin \theta_2 + \frac{l_1 P_0}{16} \sin \theta_1 \right]$			$-\frac{1}{3} \left[\frac{l_1 P_0}{8} \sin \theta_1 - \frac{l_2 P_0}{8} \sin \theta_2 + \frac{l_1 P_0}{16} \sin \theta_1 \right]$
$-\frac{l_1 P_0}{16} \sin \theta_1 - \frac{l_2 P_0}{12} \sin \theta_2$			$\frac{l_1 P_0}{16} \sin \theta_1 + \frac{l_2 P_0}{12} \sin \theta_2$

(7a)

各 支間の 휨모멘트는 다음과 같다.

$$\left. \begin{aligned} & -P_0 \sin \theta_0 x + \frac{M_B}{t} x \quad 0 \leq x \leq l_1 \\ & -P_0 \sin \theta_0 x + \frac{M_B}{t} x + P_0 \sin \theta_1 \left(x - \frac{l_1}{2} \right) \\ & \quad \quad \quad \frac{l_1}{2} \leq x \leq l_1 \\ & -P_0 \sin \theta_0 x + P_0 \sin \theta_1 \left(x - \frac{l_1}{2} \right) \\ & \quad \quad \quad + M_B - P_0 \sin \theta_2 (x - l_1) \\ & \quad \quad \quad l_1 \leq x \leq l_1 + \frac{l_2}{2} \end{aligned} \right\} \quad (7b)$$

實荷重으로 휨모멘트가 가장 커지는 部分이 中間支點 B 이므로 이 部分에 pre-stress 를 가장 크게 주는 것이 效果的이다.

$$-\frac{P_0 \cos \theta_0}{A} - \frac{M_B}{Z} = -\sigma_{ca} \quad (\text{上緣})$$

$$-\frac{P_0 \cos \theta_0}{A} + \frac{M_B}{Z} = \sigma_{ta} \quad (\text{下緣})$$

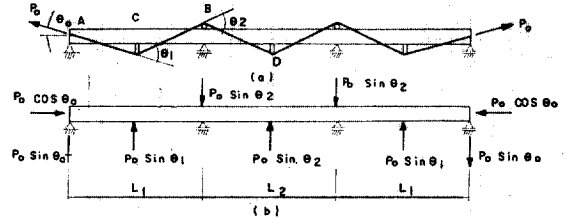


그림 4.

은 外力作用을 받게 된다. 中間支點 B의 左右支間에서 固定端모멘트 $P_0 \sin \theta_1 \frac{l_1}{8}$, $P_0 \sin \theta_2 \frac{l_2}{8}$ 가 생긴다.

만약 $l_1 = l_2$ 일 때는 대칭구조에 대칭하중이 作用할 때여서 모멘트의 分配係數는 1/3, 2/3로 된다(3 徑間 全同一斷面).

즉 P_0 를 決定할 수 있다.

III. 構造解析과 許容荷重

1. 構造解析

PC 鋼線으로 緊張作業을 해서 端部礎着시키 놓은 單純桁에 實荷重이 作用하면 內的 1次 不靜定構造로서 鋼線에 部材力作用이 있게 된다.

2 徑間連續桁에 緊張力을 주어서 pre-stress 를 주게 되면 1次 不靜定構造에 外力인 軸力과 휨모멘트를 주는 것이고 또 이에 實荷重이 作用하면 1次 不靜定을 基本系로 하는 구조에 礎着된 PC 鋼線(未知力 X_a 가 作用한다고 본다)이 不靜定力으로 된다. 즉 2次 不靜定 구조로 된다.

3 徑間連續桁에서는 이 3 徑間連續桁을 基本系로 보고 pre-stressing 되어 礎着된 PC 鋼線의 作用力을 不靜定으로 보아서 實荷重作用時의 이 作用力을 求할 수 있다.

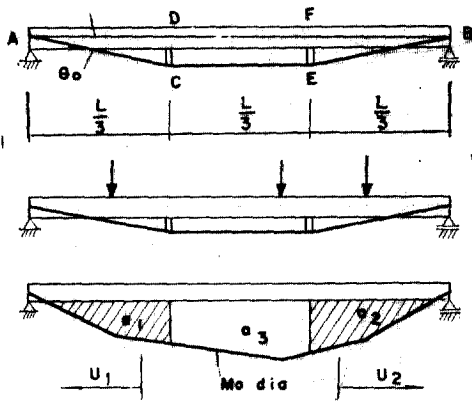


그림 5.

어느 것이던지 PC 鋼線에는 pre-stress 힘과 實荷重作用時의 作用力 즉, 部材力의 2 가지 힘이 作用되며 作用力도 pre-stress 를 增加시키게 된다.

(1) 單純桁

支間의 1/3 되는 2 個所에 높이 h 되는 支壓材 DC, FE 를 설치하여 그 先端을 통과하는 PC 鋼線을 P_0 로 緊張하여 端圓心部에 碇着시킨다. 荷

重作用時 ACEB 에 생기는 作用力 X_a 는 다음과 같다.

$$X_a = \frac{\int \frac{M_0 M_a}{EI} dx}{\int \frac{M_a^2}{EI} dx} \frac{1}{\left[1 + \frac{[N_a^2]}{[M_a^2]}\right]} \quad (8)$$

$I, A, E \dots AB$ 桁의 2 次 모멘트 단면적 탄성계수

$A_1, E_1 \dots PC$ 鋼線의 단면적 탄성계수

$A_3, E_3 \dots$ 支壓材 DC, FE 의 단면적 탄성계수

$M_0 \dots$ 靜定基本系의 任意點의 휨모멘트

$M_a \dots$ 기본계에 $X_a=1$ 만 作用할 때의 任意點의 휨모멘트

支壓材의 端部는 滑動되므로 PC 鋼線에는 引張力이 同一하게 된다.

X_a 가 定하여지면

$$M_{AD} = M_0 - x X_a \sin \theta_0 \quad (AD \text{ 에서})$$

$$M_{DF} = M_0 - \frac{l}{3} X_a \sin \theta_0 \quad (DF \text{ 에서})$$

$$N_{AB} = -X_a \cos \theta_0$$

X_a 를 계산하기 위한 (8) 式의 各項은 다음과 같다.

$$\begin{aligned} [M_0 M_a] &= \int \frac{M_0 M_a}{EI} dx \\ &= \int_0^{\frac{l}{3}} \frac{M_0 (-x \sin \theta_0)}{EI} dx + \int_0^{\frac{l}{3}} \frac{M_0 (-x \sin \theta_0)}{EI} dx + \int_{\frac{l}{3}}^{\frac{2l}{3}} \frac{M_0 (-\sin \theta_0 \frac{l}{3})}{EI} dx \\ &\quad (AD \text{ 에서}) \quad (BF \text{ 에서}) \\ &= -\frac{\sin \theta_0}{EI} \int_0^{\frac{l}{3}} M_0 x dx - \frac{\sin \theta_0}{EI} \int_0^{\frac{l}{3}} M_0 x dx - \frac{l \sin \theta_0}{3EI} \int_{\frac{l}{3}}^{\frac{2l}{3}} M_0 dx \\ &= -\frac{\sin \theta_0}{EI} a_1 u_1 - \frac{\sin \theta_0}{EI} a_2 u_2 - \frac{l \sin \theta_0}{3EI} a_3 \quad (\text{그림 5 참조}) \\ &= -\frac{\sin \theta_0}{EI} \left\{ a_1 u_1 + a_2 u_2 + \frac{l}{3} a_3 \right\} \quad (9) \end{aligned}$$

$$[M_a^2] = \int \frac{M_a^2}{EI} dx = 2 \int_0^{\frac{l}{3}} \frac{x^2 \sin^2 \theta_0}{EI} dx + \int_{\frac{l}{3}}^{\frac{2l}{3}} \frac{\sin^2 \theta_0 \left(\frac{l}{3}\right)^2}{EI} dx = \frac{5l^3 \sin^2 \theta_0}{81EI}$$

$$\begin{aligned} [N_a^2] &= \int \frac{N_a^2}{EA} dx = \int_0^l \frac{\cos^2 \theta_0}{EA} dx + 2 \int_0^{\frac{l}{3} \sec \theta_0} \frac{1}{E_1 A_1} dx + 2 \int_0^h \frac{(\sin \theta_0)^2}{E_3 A_3} + \int_0^{\frac{l}{3}} \frac{1}{E_1 A_1} \\ &= \frac{l}{3EA} \left(3 \cos^2 \theta_0 + 2 \frac{EA}{E_1 A_1} \sec \theta_0 + 2 \frac{EA}{E_3 A_3} \frac{h}{l} \sin^2 \theta_0 + \frac{EA}{E_1 A_1} \right) \end{aligned}$$

$E = E_1 = E_3$ 일 때

$$\frac{[N_a^2]}{[M_a^2]} = \frac{27I}{5Al^2 \sin^2 \theta_0} \left(3 \cos^2 \theta_0 + \frac{2A}{A_1} \sec \theta_0 + \frac{2A}{A_3} \frac{h}{l} \sin^2 \theta_0 + \frac{A}{A_2} \right)$$

$$r = \frac{1}{\left[1 + \frac{[N_a^2]}{[M_a^2]} \right]} = \left[1 + \frac{27I}{5Al^2 \sin^2 \theta_0} \left(3 \cos^2 \theta_0 + \frac{2A}{A_1} \sec \theta_0 + \frac{2A}{A_3} \frac{h}{l} \sin^2 \theta_0 + \frac{A}{A_2} \right) \right]^{-1} \quad (10)$$

즉 X_a 는 다음과 같다.

$$X_a = \frac{[M_0 M_a]}{[M_a^2]} r = -\frac{81}{5l^3 \sin \theta_0} \left\{ a_1 u_1 + a_2 u_2 + \frac{l}{3} a_3 \right\} r \quad (11)$$

X_a 의 影響線

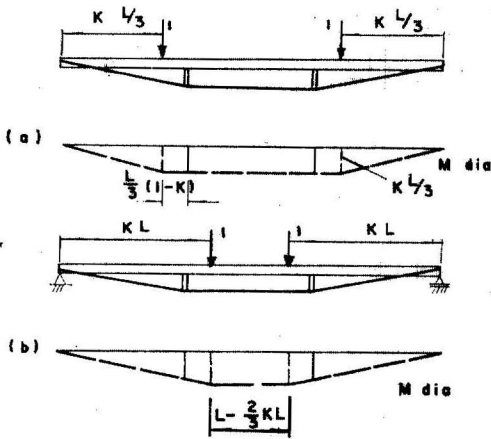


그림 6.

2支壓材의 對稱構造 任意點에 單位荷重이 재하되는 것은 그림 6과 같이 對稱되는 任意點 한쌍에 單位荷重 $P=1$ 을 놓았을 때의 값의 $1/2^{(4)}$ 로 환원된다. 여기 任意點은 $k \frac{l}{3}$ 로 표시하여 $k \leq 1$, $k \geq 1$ 로 나누워진다.

$$a_1 u_1 = \frac{1}{2} \left[k \frac{l}{3} \times \frac{kl}{6} \times \frac{2}{3} \left(\frac{kl}{3} \right) + \frac{kl}{3} \left(\frac{l}{3} - \frac{kl}{3} \right) \left\{ \frac{kl}{3} + \frac{1}{2} \left(\frac{l}{3} - \frac{kl}{3} \right) \right\} \right]$$

$$= \frac{1}{2} \left[\frac{k^3 l^3}{81} + \frac{kl^3}{54} (1-k) \right]$$

$$\therefore a_1 u_1 + a_2 u_2 = \frac{k^3 l^3}{81} + \frac{kl^3}{54} (1-k)$$

그림 6 (a) M dia 의 $1/2$ 로서

$$a_3 = \frac{1}{2} \frac{kl}{3} \times \frac{l}{3} = \frac{kl^2}{18}$$

$$X_a = \frac{81}{5l^3 \sin \theta_0} \left[\frac{k^3 l^3}{81} + \frac{kl^3}{54} (1-k) + \frac{kl^3}{54} \right] r$$

$$= \frac{1}{15 \sin \theta_0} (9k - 15k^3) r \dots \left(k \frac{l}{3} \leq \frac{l}{3} \right) \quad (12)$$

一般式 $X_1 \delta_{11} + X_2 \delta_{12} + \dots + \delta_{1,0} = 0$ 으로서 負號

가 正號로 되었다.

$$k \frac{l}{3} \geq \frac{l}{3} \quad (\text{그림 6 (b) 참조})$$

$$a_1 u_1 + a_2 u_2 = \frac{l}{3} \times \frac{l}{3} \times \frac{1}{2} \times \frac{2}{3} \left(\frac{l}{3} \right) = \frac{1}{18} l^3$$

$$a_3 = \frac{1}{2} \left[\left(l - \frac{2kl}{3} \right) \frac{kl}{3} + \frac{l^2}{9} (k^2 - 1) \right]$$

$$= \frac{l^2}{8} (-k^2 + 3k - 1)$$

$$X_a = \frac{1}{10 \sin \theta_0} (-3k^2 + 9k - 1) r \quad (13)$$

$$k \frac{l}{3} \geq \frac{l}{3}$$

$$k=1 \text{ 에서 } X_a = \frac{1}{2 \sin \theta_0} r \quad (12), (13) \text{ 同一值}$$

$$\left(\frac{dX_a}{dk} \right)_{k=1} = \frac{3}{10 \sin \theta_0} r \quad (12), (13) \text{ 同一值}$$

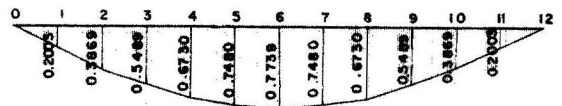
k 를 변화시켜서 (12), (13) 式으로 X_a 의 影響值를 알 수 있다.

$\frac{l}{3}$ 를 4等分하여 k 값에 따른 $X_a r$ 는 다음 표

표 1.

단면위치	k	$9k - 15k^3$ or $(9k - 3k^2 - 1)$	$X_a r$	X_a
1	0.25	2.2266	0.8553	0.2003
2	0.50	4.3125	1.6523	0.3869
3	0.75	6.1173	2.3438	0.5489
4	1.00	7.5000	2.8736	0.6730
5	1.25	5.5625	3.1698	0.7480
6	1.50	5.7500	3.3045	0.7739

($\sin \theta_0 = 0.216$ $r = 0.2342$)



($X_a (r=0.2342)$ 影響線)

그림 7.

1과 같이 되어 $r=0.2342$ (支壓材 45 cm 높이)
그림 7과 같은 영향선이 된다.

(2) 2 徑間連續桁

2 徑間連續桁 全徑間을 等斷面으로 所定의 緊張力 P_0 로 pre-stressing 하여 兩端圖心部에 PC 鋼線碇着 시킨다. 1次不靜定인 2 徑間連續桁을 基本系로 하여 그 任意點에 單位荷重 1이 作用할 때의 各點의 휨모멘트 즉 모멘트圖는 既知라고 하면 單純桁에서와 같이 PC 鋼線에 作用하는 不靜定力을 求할 수가 있다. 즉

$$X_a = \frac{[M_0 M_a]}{[M_a^2]} \left\{ 1 + \frac{[N_a^2]}{[M_a^2]} \right\}^{-1}$$

M_0 ...2 徑間連續桁의 휨모멘트

M_a, N_a ...不靜定力 $X_a=1$ 때의 모멘트와 軸力
10 m+10 m의 2 徑間連續桁에 $I=600 \times 190$ 을 쓰고 各支間中央에 30 cm 높이의 支壓材를 쓸 때 (3)式과 그림 8로서

$$P_0 \sin \theta_0 = 0.1190 P_0$$

$$P_0 \sin \theta_1 = 0.3228 P_0$$

$$\frac{3P_0 \sin \theta_1 l}{16} = -0.6053 P_0$$

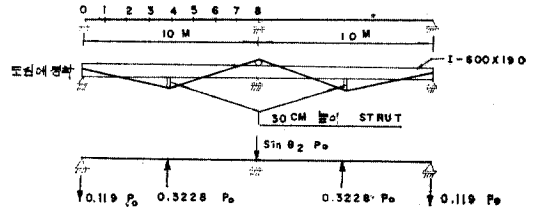


그림 8.

任意點의 M_a 는 다음과 같고 M_0 는 그림 9⁽⁵⁾와 표 2에 표시되어서 $[M_0 M_a], [N_a^2], [M_a^2]$ 는 다음과 같이 計算된다.

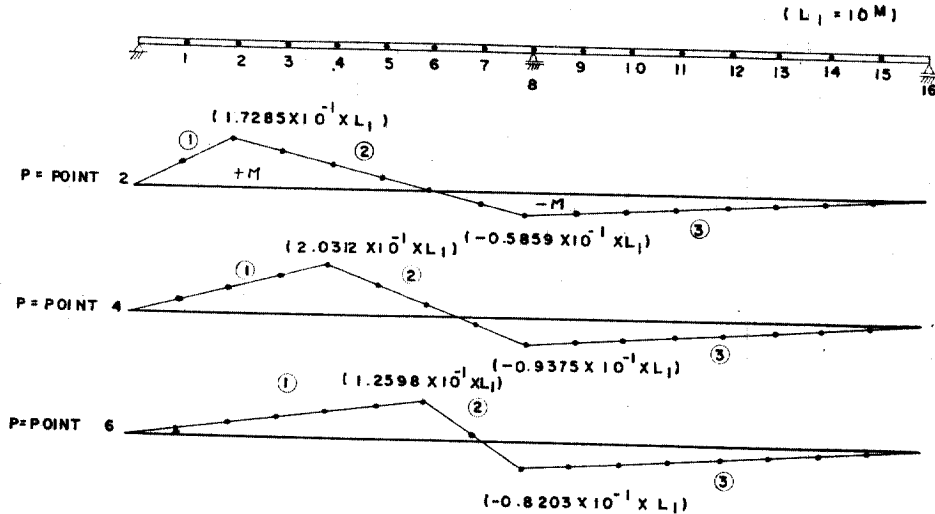


그림 9. 2-span 연속교 모멘트 도

표 2.

Equation	Point	P="Point 2"	P="Point 4"	P="Point 6"
① Origin "0"		$0.6914x (x=0 \sim 2.5m)$	$0.40624x (x=0 \sim 5.0m)$	$0.16797x (x=0 \sim 7.5m)$
② Origin "0"		$-0.3086x + 2.50$ $(x=2.5 \sim 10.0m)$	$-0.59374x + 5.00$ $(x=5.0m \sim 10.0m)$	$-0.83204x + 7.50$ $(x=7.5 \sim 10.0m)$
③ Origin "16"		$-0.05859x (x=0 \sim 10m)$	$-0.09375x (x=0 \sim 10m)$	$-0.08203x (x=0 \sim 10m)$

$[N_a^2]$ 계산에서 支壓材는 r 에 미치는 影響이 微小하여서 計算에 加算치 않았다[(10)式 참조].

단면 위치 M_a 표시

0~2.5m $-0.119x + \frac{0.6053}{10}x = -0.05837x$

2.5~5.0m $-0.0537x$

5.0m~10m $-0.05837x + 0.3228(x-5)$

단면 2에서 $1/EI$ 를 생략해서 다음과 같다.

$$\begin{aligned}
 [M_0 M_a] &= \int_0^{2.5} 0.6914x(-0.05837x) dx \\
 &+ \int_{2.5}^5 (-0.3086x - 2.5)(-0.05837x) dx \\
 &+ \int_5^{10} (-0.3086x + 2.5)\{-0.05837x \\
 &+ 0.3228(x-5)\} dx + \int_0^5 (-0.05859x) \\
 &(-0.05837x) dx \\
 &+ \int_5^{10} (-0.05859x)\{-0.05837x \\
 &+ 0.3228(x-5)\} dx \\
 &= \int_0^{2.5} (-0.040357x^2) dx + \int_{2.5}^5 (0.018013x^2 \\
 &- 0.14593x) dx + \int_5^{10} (-0.081603x^2 \\
 &+ 1.15915x - 4.035) dx \\
 &+ \int_0^5 0.00342x^2 dx + \int_5^{10} (-0.01549x^2 \\
 &+ 0.09456x) dx = -2.25873
 \end{aligned}$$

같은 方法으로 다음과 같다.

$[M_0 M_a]$	$[M_0 M_a]$
단면 1 -1.22879	단면 5 -2.3073
단면 3 -2.89896	단면 6 -1.38434
단면 4 -2.94327	단면 7 -0.40096

$$\begin{aligned}
 [N_a^2] &= 2 \int_0^l \frac{\cos^2 \theta_0}{EA} dx + 2 \int_0^{\frac{l}{2} \sec \theta_0} \frac{1}{EA_1} dx \\
 &+ 2 \int_0^{\frac{l}{2} \sec \frac{\theta_0}{2}} \frac{1}{EA_1} dx \\
 &= \frac{1.97166}{EA} l + \frac{1.00716}{EA_1} l + \frac{1.02239}{EA_1} l \\
 &= \frac{l}{EA} \left(1.97166 + \frac{A}{A_1} 2.02955 \right)
 \end{aligned}$$

A : 桁斷面積 A_1 : PC 鋼線斷面積

$$[M_a^2] = \int \frac{M_a^2}{EI} dx \text{ (2경간 全體)}$$

$$\begin{aligned}
 &= \frac{2}{EI} \int_0^5 (0.05837)^2 x^2 dx \\
 &+ \frac{2}{EI} \int_5^{10} (0.26443x - 1.614)^2 dx \\
 &= \frac{3.10384}{EI}
 \end{aligned}$$

$I 600 \times 190 (A=169.4 \text{cm}^2, I=98200 \text{cm}^4)$ 을 사용하면

$$\begin{aligned}
 \frac{[N_a^2]}{[M_a^2]} &= \frac{\frac{l}{EA} 1.97166 + \frac{A}{A_1} 2.02955}{\frac{1}{EI} \times 3.10384} \\
 &= \frac{lI}{A} \left(0.635233 + \frac{A}{A_1} 0.653884 \right) \\
 &= \frac{10 \times 9.82^4}{169.4} \left(0.635233 + \frac{169.4}{11.20} \right. \\
 &\quad \left. \times 0.653884 \right) = 6.1014
 \end{aligned}$$

$$r = \left[1 + \frac{[N_a^2]}{[M_a^2]} \right]^{-1} = \{ 1 + 6.1014 \}^{-1} = 0.141$$

$X_a = \frac{[M_0 M_a]}{[M_a^2]} r$ 의 영향선은 그림 10과 같고 그 면적은

$$\begin{aligned}
 \Sigma X_a &= 5.40562r \text{ (Simpson 공식이용 단위 : m)} \\
 &= 0.7622 (r=0.141)
 \end{aligned}$$

兩徑間 총면적

$$\Sigma X_a = 0.7622 \times 2 \times 100 = 152.44 \text{ (단위 : cm)}$$

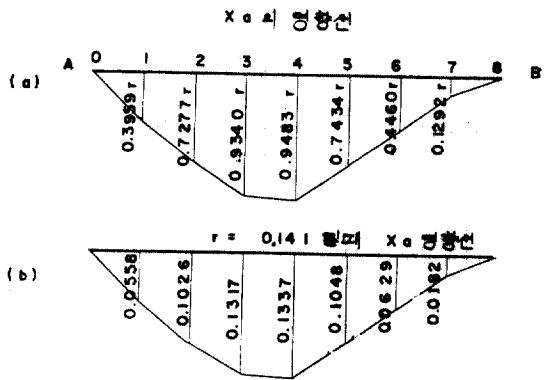


그림 10.

(3) 3徑間連續桁

3徑間連續보(等斷面) 任意點에 單位荷重 $P=1$ 이 載荷되었을 때의 彎矩圖은 既知事項으로 하여 緊張力을 준 PC 鋼線이 碇着되면 1次

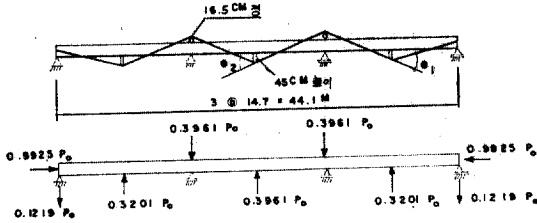


그림 11.

不靜定力으로 作用하는 것은 2 徑間連續 때와 같으며 같은 方式으로 計算된다.

3 徑間의 各支間中央點에 支壓材 45 cm 높이의 滑節로 하여 兩端部圖心에 鋼線碇着 시킨다. 14.7 m×3 徑間이고 I900×300(A=3098 cm², I=411000 cm⁴ Z=9140 cm³)를 斷面으로 쓸 때 諸數値와 (7a, b)式을 이용한 M_B M_s를 표시하는 任意點의 M_x는 다음과 같다.

$$\tan \theta_0 = \frac{90}{735} = 0.12245$$

$$\sin \theta_0 = 0.1219$$

$$\tan \theta_1 = \frac{45 + 90 + 16.5}{735} = 0.2061$$

$$\sin \theta_1 = 0.3201$$

$$\sin \theta_2 = 0.3961$$

$$M_B = \frac{14.7 P_0}{16} \cdot 0.3201 + \frac{14.7 P_0}{12} \cdot 0.3961 = 0.7793 P_0$$

$$= 77.93 P_0 (\text{단위 : cm}) \quad (14)$$

$$M_x = -0.1219 P_0 x + \frac{0.7793}{14.7} P_0 x, \quad 0 \leq x \leq \frac{14.7}{2}$$

$$= -0.068886 P_0 x \quad (15)$$

$$M_x = -0.68886 P_0 x + 0.3201 P_0 (x - 7.35),$$

$$\frac{14.7}{2} \leq x \leq 14.7$$

$$= 0.251214 P_0 x - 235.274 P_0$$

$$(\text{단위 : cm}) \quad (16)$$

$$M_x = -0.1219 P_0 x + 0.3201 P_0 (x - 7.35)$$

$$+ 0.7793 P_0 - 0.3961 (x - 14.7)$$

$$14.7 \leq x \leq 14.7 + \frac{14.7}{2}$$

$$= -0.1979 P_0 x + 346.993 P_0$$

$$(\text{단위 : cm}) \quad (17)$$

위 式으로 M_s dia를 圖示하면 그림 12(단위 : m)와 같이 된다. 3 徑間을 8 等分하여 各點에 單純荷重 1이 作用할 때의 모멘트圖 즉 M₀ dia⁽⁶⁾를 그려서 이들을 函數化하면 표 3과 같다. 8 等分한 제 1 支間 "point 1"에 대하여 ($\frac{1}{EI}$ 생략).

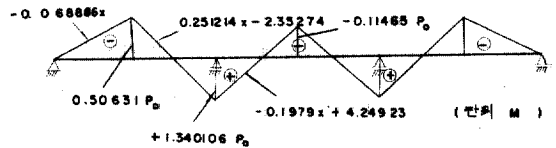


그림 12. M_s dia

표 3.

점 위치	①	②	③	④
Point 1	0.8422x (0~1.8375m)	-0.1578x+1.83705 (1.8375~14.7m)	0.04101x-1.0852 (14.7~29.4m)	0.00823x 14.7←0
Point 2	0.68748x (0~3.675m)	-0.3125x+3.675 (3.675~14.70m)	0.07813x-2.0673 14.70~29.40	0.01563x 14.7←0
Point 3	0.5390x (0~5.5125m)	-0.4609x+5.51205 (5.5125~14.7)	0.1074x-2.8421 (14.7~29.4)	0.0215x 14.7←0
Point 4	0.4000x (0~7.35m)	-0.6000x+7.35 (7.35~14.70m)	0.1250x-3.3075 14.70~29.40	0.0250x 14.7←0
Point 5	0.2734x (0~9.1875)	-0.7266x+9.18705 (9.1875~14.7)	0.1269x-3.3583 (14.7~29.4)	0.0254x 14.7←0
Point 6	0.1625x (0~11.025)	-0.83748x+11.025 (11.025~14.70)	0.10938x-2.8941 (14.70~29.40)	0.02188x 14.7←0

Point 7	0.07031x (0~12.8625)	-0.9297x+12.86205 (62.8625-14.7)	0.06836x-1.8088 (14.7~29.4)	0.0137x 14.7←0
Point 9	-0.04648x (0~14.7)	0.9023x-13.9471 (14.7~16.5375)	-0.09766x+2.5898 (16.5375~29.4)	-0.01914x 14.7←0
Point 10	-0.071884x 0~14.7	0.78128x-12.5415 (14.70~18.375)	-0.218767+5.8343 (18.375~29.40)	-0.04063x 14.7←0
Point 11	-0.08008x (0~14.7)	0.6445x-10.6513 (14.7~20.2125)	-0.35547x+9.5607 (20.2125~29.4)	-0.0606x
Point 12	-0.0750x (0~14.70)	0.5000x-8.4525 (14.70~225.0)	-0.5000x+13.5975 (22.05~29.40m)	-0.075x 14.7←0

제 1 경간 점 1 에 대한 $[M_0M_a]$ 계산

$$\int_0^{1.8375} 0.8422x(-0.06886x)dx + \int_{1.8375}^{7.35} (-0.1578x + 1.8375)(-0.06886x)dx$$

$$+ \int_{7.35}^{14.70} (-0.1578x + 1.8375)(0.251214x - 2.35274)dx$$

$$+ \int_{14.70}^{22.05} (0.04101x - 1.0852)(-0.1979x + 4.24923)dx$$

$$+ \int_{22.05}^{29.40} (0.04101x - 1.0852)(0.1979x - 4.47816)dx$$

$$+ \int_0^{7.35} (0.00823x)(-0.068886x)dx$$

$$+ \int_{7.35}^{14.70} (0.00823x)(0.25124x - 2.35274)dx$$

$$= -0.11999 + (1.41622 - 3.20539) + (-36.7259 + 67.49058 - 31.77523)$$

$$+ (-20.40969 + 52.53958 - 33.89276) + (39.74519 - 75.33086 + 35.71880)$$

$$+ (-0.07503) + (1.91551 - 1.56906) = -4.27803$$

같은 방법으로 各點의 $EI[M_0M_a]$ 를 계산하면 다음과 같다.

2 점	3 점	4 점	5 점	6 점	7 점	9 점	10 점	11 점	12 점
-7.89856	-10.19853	-10.51922	-8.5322	-5.23245	-1.94633	-0.29389	-2.02511	-3.96487	-4.88452

또 $[N_a^2]$, $[M_a^2]$ 으로 r 를 다음과 같이 계산한다. 支壓材의 영향은 계산치에 微小한 역할이어서 加算치 않았다.

$$[N_a^2] = \int_0^l \frac{\cos^2 \theta_0}{EA} dx \times 3 + 2 \int_0^{\frac{1}{2} \sec^2 \theta_0} \frac{1}{EA_1} dx$$

$$+ 4 \int_0^{\frac{1}{2} \sec^2 \frac{\theta_2}{2}} \frac{1}{EA_1} dx = \frac{43.4385}{EA} + \frac{44.83204}{EA_1}$$

$$= \frac{l}{EA} \left(2.955 + \frac{A}{A_1} 3.0498 \right)$$

$$[M_a^2] = \frac{2}{EI} \left[\int_0^{7.35} (-0.06886x)^2 dx + \int_{7.35}^{14.7} (0.251214x - 2.35274)^2 dx + \int_{14.7}^{22.05} (0.1979x + 4.24923)^2 dx \right]$$

$$= \frac{2}{EI} [330.9821 - 322.84287] = \frac{16.2785}{EI}$$

$$r = \left[1 + \frac{[N_a^2]}{[M_a^2]} \right]^{-1}$$

$$\frac{[N_a^2]}{[M_a^2]} = \frac{l}{EA} \left(2.955 + \frac{A}{A_1} 3.0498 \right) \frac{EI}{16.2785} = 10.46045$$

$$I = 411000 \text{ cm}^4 = 0.411 \times 10^{-2} \text{ m}^4$$

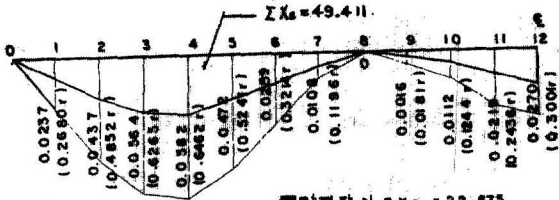
$$A = 309.8 \text{ cm}^2 = 0.3098 \times 10^{-1} \text{ m}^2$$

$$r = 0.09$$

X_a 의 影響線은 各點에 單位荷重 1이 재하되었을 때의 값을 재하점에 縱距로 표시한 것이다. 즉 다음과 같고 그림 13에 나타내었다.

재하점	$[M_0M_a]/[M_a^2]$	$[M_0M_a]/[M_a^2] \times r$
1	0.2680	0.02365
2	0.4852	0.04367
3	0.62650	0.05638
4	0.64620	0.05816

5	0.52414	0.04717
6	0.32143	0.02893
7	0.11956	0.01076
9	0.01805	0.00160
10	0.12440	0.01120
11	0.24356	0.02192
12	0.3006	0.02701



평면저항의 $\sum X_a = 22.675$
 3 등간에서 W 재하시의 영점항선 그래프
 $49.411 \times 2 + 22.675 = 121.497$

그림 13.

2. 許容荷重

(1) 單純桁

支間 10 m 에 $I-600 \times 190$ 을 사용할 경우 中央點에 集中荷重을 주어서 挫屈을 생각한 허용된 압축응력을 1240 kg/cm^2 로 할 때 許容集中荷重은 16.22 ton 이 된다.

支間 3 等分點에 支壓材(높이 45 cm)를 각 각 설치하여 P_0 로 pre-stressing 하여 兩端圓心部에 碇着시킨다. P_0 는 (1) 또는 (2)式에 따른다. (10)式에 따라 r 를 支壓材 높이 45 cm ($h=30445$) 일 때 계산하면 다음과 같다.

$$r = \left[1 + \frac{27I}{5AI^2 \sin^2 \theta_0} \left(3 \cos^2 \theta_0 + \frac{2A}{A_1} \sec \theta_0 + \frac{2A}{A_3} \frac{h}{l} \sin^2 \theta_0 + \frac{A}{A_1} \right) \right]^{-1}$$

$A = 169.4 \text{ cm}^2$ $I = 98200 \text{ cm}^4$
 A_3 (支壓材) = 100 cm^2
 A_1 = PC 鋼線 = $12 \times 0.909 = 11.15 \text{ cm}^2$
 $\frac{h}{l} = \frac{75}{1000}$ $\sin \theta_0 = 0.216$ $\sec \theta_0 = \frac{1}{0.976}$

$r = 0.2342$

(i) 支間中央의 集中荷重

$P_0 = 44.44 \text{ ton}$ 이면 支間中央의 下緣에 -1235 kg/cm^2 ($\approx 1240 \text{ kg/cm}^2$) 가 생기고 上緣에 $+723 \text{ kg/cm}^2$ 가 생겨서 實荷重應力을 下緣에 2635 kg/cm^2 上緣에 -1963 kg/cm^2 를 받을 수 있다. 따

라서 다음과 같은 中央點의 集中荷重 P 가 許容된다.

$$P \left[\mp \frac{l/4}{Z} \pm \frac{0.7739 \sin \theta_0 \frac{l}{3}}{Z} - \frac{0.7739 \cos \theta_0}{A} \right]$$

$$= \begin{cases} -1963 \\ +2635 \end{cases}$$

$l = 1000 \text{ cm}$, $Z = 3270 \text{ cm}^3$ $A = 169.4 \text{ cm}^2$
 $\sin \theta_0 = 0.216$ $\cos \theta_0 = 0.976$

$P = 30.75^T \text{ ok } 47.95^T$

1.90 = $30.75 / 16.22$ (압축응력 기준)

2.62 = $47.95 / 18.31$ (인장응력 기준)

(ii) 等分布荷重

支間 10 m 에 $I-600 \times 190$ ($Z=3270$)을 사용할 경우 許容等分布荷重 w 는 3.244 t/m (-1240 kg/cm^2 기준), 3.662 t/m ($+1400 \text{ kg/cm}^2$ 기준)이다. P_0 로 pre-stress 된 이 構造에는 다음과 같은 w' 를 等分布시킬 수 있다(그림 10 영항선 참조).

$$w' \left[\mp \frac{l^2}{8Z} \mp \frac{\sin \theta_0 \frac{l}{3}}{Z} \sum X_a - \frac{\cos \theta_0 \sum X_a}{A} \right]$$

$$= \begin{cases} -1963 \\ +2635 \end{cases}$$

$\sum X_a$ 는 다음과 같다.

$$\sum X_a = 2 \int_0^l X_a dk + \int_1^2 X_a dk$$

$$= \frac{2r}{10 \sin \theta_0} (4.5 - 0.25) + \frac{r}{5 \sin \theta_0} \left[-3 \frac{1}{3} (k^3)_1^2 + 9 \times \frac{1}{2} (k^2)_1^2 - 2(k)_1^2 \right]$$

$$= \frac{8.75r}{5 \sin \theta_0} k \text{ 대신 } \frac{l}{3} k \text{ 이어서}$$

$$= \frac{8.75 \times 0.2342}{5 \times 0.216} \times \frac{1000}{3} = 632.5$$

$$w' \left[\mp \frac{l^2}{8Z} \pm \frac{0.216 \frac{l}{3}}{Z} 632.5 - \frac{0.976}{A} 632.5 \right]$$

$$= \begin{cases} -1963 \\ +2635 \end{cases}$$

$w' [\mp 38.226 \pm 13.9266 - 3.6442] = \begin{cases} -1963 \\ +2635 \end{cases}$

$w' = 7.025 \text{ t/m}$

$= 12.757 \text{ t/m}$

w'/w 을 荷重增大率이라 하면 다음과 같다.

2.16 = $7.025 / 3.244$

3.48 = $12.757 / 3.662$

(2) 2 徑間連續桁

各支間 10 m 되는 2 徑間連續桁에 $I=600 \times 190$ 을 사용하여 各支間中央에 30 cm 높이의 支壓材를 설치하고 中央支點上緣에 直徑 165 mm 의 圓環柱를 설치하여 兩端圖心部에 碇着토록 pre-stressing 한다. 즉, 그림 14 와 같다.

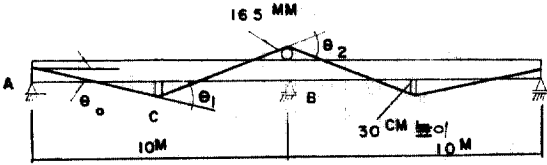


그림 14.

이때 (3), (4)식에 필요한 3角函數 값은 다음과 같아 M_B M_C 가 계산된다.

$$\sin \theta_0 = 0.11898 \quad \cos \theta_0 = 0.9929$$

$$\sin \theta_1 = 0.3228 \quad \cos \theta_1 = 0.9465$$

$$\sin \theta_2 = 0.4067$$

$$M_B = +102.93 P_0 \text{ (kg-cm)}$$

$$M_C = -109.935 P_0 \text{ (kg-cm)}$$

C 點에서 허용휨압축응력으로 pre-stress 시키기 위한 P_0 는

$$C \text{ 點: } -\frac{P_0 \cos \theta_0}{A} \pm \frac{109.935 P_0}{Z} = \begin{cases} +1400 \\ -1240 \end{cases}$$

$$-1240 \text{ kg/cm}^2 \text{ 에 대해서 } P_0 = 31408 \text{ kg}$$

$$\text{이때 上緣應力 } \sigma_t = +871.8 \text{ kg/cm}^2$$

$P_0 = 31408 \text{ kg}$ 일 때

$$A+B; \text{ 上緣 } -1172.7 \text{ kg/cm}^2 \text{ (P.S)}$$

$$\text{下緣 } +804.6 \text{ kg/cm}^2 \text{ (P.S)}$$

(i) 集中荷重

中央點 X_a 의 영향치는 0.1337 이여서 C 點에 作用하는 許容集中荷重을 P 라 할 때 휨모멘트는 $-109.935(0.1337 P)$ 이고 軸壓은 $0.1337 P \cos \theta_0$ 이다. 또 0.5 l 點의 2 徑間連續桁(等斷面)의 모멘트影響線으로 203.1 P (cm 표시)가 되어서

$$C \text{ 點 } \mp \frac{203.1 P}{2} \pm \frac{14.698 P}{Z} - \frac{0.1337 P}{A} 0.9929$$

$$= \begin{cases} -2111.8 \\ +2640 \end{cases}$$

$$P = \begin{cases} 36.16 \text{ t} \\ 46.45 \text{ t} \end{cases}$$

0.5 l 點의 모멘트 영향선 0.2031 l 로서 휨압축 응력 1240 kg/cm^2 휨인장응력 1400 kg/cm^2 에 대한 許容荷重은 各各 19.645 t, 22.180 t 이다

$$\text{荷重增大率} \begin{cases} 1.84 = 36.16/19.645 \\ 2.09 = 46.45/22.180 \end{cases}$$

中間支點 B

中間支點에서 兩側支間으로 0.4 l 點에 集中荷重이 있을 때 모멘트 영향이 최대이며

$$0.096 l \times 2 = 192 \quad (l = 1000 \text{ cm})$$

$$\frac{192 P'}{3270} = \frac{1400}{1240} \rightarrow P' = \begin{cases} 23.844 \text{ t} \\ 21.118 \text{ t} \end{cases}$$

그림 10 에 의하여 영향치 $X_a = 0.11$

$$\pm \frac{192 P}{Z} \mp \frac{102.93(0.11 P \times 2)}{Z}$$

$$- \frac{0.22 P \times 0.9929}{A} = \begin{cases} +2572.7 \\ -2044.6 \end{cases}$$

$$P = \begin{cases} 50.94 \text{ t} \\ 38.52 \text{ t} \end{cases}$$

$$\text{增大率} \begin{cases} 2.14 = 50.94/23.844 \\ 1.82 = 38.52/21.118 \end{cases}$$

(ii) 等分布荷重

等分布荷重의 兩支間에 滿載되었을 경우에 中間支點의 應力이 許容値에 도달하는 w' 는 다음과 같다.

$$w' = \begin{cases} 3.662 \text{ t/m} \quad (\sigma_{ts} = 1400 \text{ 기준}) \\ 3.244 \text{ t/m} \quad (\sigma'_{ts} = 1240 \text{ 기준}) \end{cases}$$

$X_a = 1$ 일 때 鋼線으로 B 點에

$$M_x = -0.05837x + 0.3228(x-5)$$

$$= -0.05837 \times 1000 + 0.3228(1000-500)$$

$$= 103$$

全徑間에 w 만재되었을 경우 B 點에

$$103w \sum X_a = 103w \times 152.44 = 15701.32w$$

$$- \frac{w l^2}{8} + 15701.32w \quad \frac{0.9928w \sum X_a}{A}$$

$$= \begin{cases} 1172.7 + 1400 \\ -1240 - 804.6 \end{cases}$$

$$w = \begin{cases} 7.908 \text{ t/m} \\ 6.285 \text{ t/m} \end{cases}$$

$$\text{荷重增大率} \begin{cases} 2.16 = 7.908/3.662 \\ 1.94 = 6.285/3.244 \end{cases}$$

(3) 3 徑間連續桁

(i) 集中荷重

中間支點의 兩側支間 左로 0.4 l, 右로 0.4 l 에 集中荷重이 있을 때 支點 모멘트가 最大로 되며

그 縱距는 0.1024 l 0.08 l (l=14.7m)이어서 許容荷重 P' 는 다음과 같이 42.269 t이다.

$$\frac{P'(0.1024+0.08)1470}{Z(=9140)}=1240$$

$$P'=42269\text{kg}$$

또 中間支點의 上緣에 pre-stress 1240 kg/cm² (압축응력)으로 되자면 (7a)式에 따라

$$M_B = \frac{IP_0}{16} \sin \theta_1 + \frac{IP_0}{12} \sin \theta_2 = 77.931P_0$$

$$\frac{-77.931P_0}{Z} - \frac{P_0 \cos \theta_0}{A} = -1240$$

P₀=105.714 t이고 이때 下緣에 +562.64 kg/cm²의 引張應力이 생겨서 上緣에 2640 kg/cm² 下緣에 -1802.64 kg/cm²를 받을 수 있다. 그래서 集中許容荷重을 左右 0.4l에 各各 P 載荷시킬 때 (16), (17)式으로

$$0.251214P \times 882 - 235.274P = -13.703P$$

$$-0.1979P \times 2058 + 346.993P = -60.208P$$

P가 作用하면 X₀ 영향선 그림 13의 左右 0.4l 點의 縱距 0.0494P, 0.0260P로 되어서 다음 式이 成立된다.

$$\pm \frac{(0.1024+0.08)1470}{Z} P \mp \frac{(13.703+60.285)}{Z}$$

$$(0.0494P+0.0260P) - \frac{0.0754P}{A} \cos \theta_0$$

$$= \begin{cases} +2640 \\ -1802.64 \end{cases}$$

$$P = \begin{cases} 114.817^T \\ 76.775^T \end{cases}$$

즉 荷重增大率이 各各 2.72(=114.817/42.269) 1.82(=76.775/42.269)가 된다.

(ii) 等分布荷重

3 徑間連續桁의 中間支點 휨모멘트의 影響線으로 1 徑間 2 徑間에 w가 滿載되었을 때 그 影響線面積⁽⁷⁾은 -0.06667 l₁², 0.05 l₂²이 되어서

$$\pm \frac{(0.06667+0.05)}{Z} - 1470 w = \begin{cases} +1400 \\ -1240 \end{cases}$$

즉 許容等分布荷重

$$w = \begin{cases} 5.07 \text{ t/m} \\ 4.49 \text{ t/m} \end{cases}$$

中間支點 pre-stress 의 上緣에 -1240 kg/cm², 下緣에 +562.64 kg/cm² 생겨서 各各 2640 kg/cm², -1802.6 kg/cm²를 받을 수 있는 許容等分布荷重 w' 는 다음 式으로 求할 수 있다(그림 13 참조).

이때 w' 는 全 3 徑間에 滿載되었다.

$$\pm \frac{0.1w'l^2}{Z} \mp \frac{134.0106}{Z} w' \sum X_0 - \frac{w' \sum X_0}{A}$$

$$= \begin{cases} +2640 \\ -1802.6 \end{cases}$$

134.0106 은 (16)式에 따른 中間支點모멘트 $\sum X_0 = 121.497$ (그림 13) 위 式으로 Z=9140 cm³ A=309.8 cm² (I-900×300)로 하여 w' 를 求하면

$$w' = \begin{cases} 12.312 \text{ t/m} \\ 8.110 \text{ t/m} \end{cases}$$

즉 荷重增大率이 2.43, 1.81이다.

$$w^1/w = \begin{cases} 2.43 (=12.312/5.07) \\ 1.81 (=8.110/4.49) \end{cases}$$

V. 結 論

單純桁 또는 連續桁에 最兩端部 圓心部에 碇着裝置를 설치하고 支間部에 單純桁에서 2 個 連續桁에서 中央下緣에 1 個의 支壓材를 所定 높이로 설치하여 pre-stressing 하면 實應力에 相殺시킬 수 있는 應力發生이 된다. 이때 일어나는 應力은 휨應力이 支配的이고 軸方向壓縮應力은 그 影響이 적다. 工場製作時에 鋼桁에 支壓材 端部碇着裝置를 설치하고 pre-stressing 은 휨壓縮應力の 挫屈을 考慮하여 現場에서 橫方向支持材 설치 後에 施行한다. I-900×300에서 桁兩側에 프레스네 cable 1 個式이면 充分한 緊張力이 된다.

本論文의 結果 PC 鋼線을 利用한 P.S를 後에 補強役割로서 將次의 荷重增大에 대한 充分한 補強이 된다는 것이 解明되었고 結論을 要約하면 다음과 같다.

(1) 碇着된 PC 鋼線이 部材役割을 하는데 이 役割은 單純桁에서 強力하고 2 徑間連續桁에서 多少強力 하고 3 徑間連續桁에서는 弱하다. 이 比較는 X₀ 影響值로 確然히 判明되고 r의 값 0.234, 0.141, 0.09의 順序이다.

(2) 單純桁에서 支壓材 높이 45 cm 2 徑間連續桁에서 30 cm 3 徑間連續桁에서 45 cm로 할 때 集中荷重의 許容力의 增大는 다음과 같다.

單純桁에서 1.90 배

連續桁 $\begin{cases} 2 \text{ 徑間에서 } 1.84 \text{ 배} \\ 3 \text{ 徑間에서 } 1.82 \text{ 배} \end{cases}$

荷重의 82% 以上の 增加가 許容된다. 支壓材

높이가 클수록 같은 PC 鋼線으로 이 增加率은 더 커진다.

(3) 單純桁이나 連續桁全支間에 等分布荷重이 滿載되어 있을 때는 等分布荷重의 許容增大率이 다음과 같이 된다.

單純桁에서 2.16 배

連續桁에서 $\begin{cases} 2 \text{ 徑間 } 1.94 \text{ 배} \\ 3 \text{ 徑間 } 1.81 \text{ 배} \end{cases}$

(4) 鋼材의 面에서 보면 單純桁에서 荷重增加 80%로 볼 때 鋼材增加는 42.6%이고 3徑間連續에서 鋼材增加 32.2%이다. 즉 本論文의 補強工法으로 鋼材節約은 32.2%以上 42.6%까지 된다는 結果이다(斷面은 같은 腹板 두께이나 그 높이를 증가시키고 플랜지 두께와 폭도 증가시켜 荷重增加의 斷面係數가 되도록 할 때 各各 42.6%, 32.2%의 原斷面의 증가이다).

謝 辭

本 研究는 文敎部의 研究補助費로서(1982년) 이루어졌으며 이에 感謝드린다.

참 고 문 헌

1. 「우리나라 道路橋補強工法」(高大生産技術研究所 研究報告 제10권 제1호 1980년 5월)
2. 吉町太郎一, 鋼橋의 理論과 計算 p.139. 日本石崎書店 1972.
3. 「우리나라 道路橋補強工法」(高大 生研 報告書. 제10권 1호) p.23.
4. 朴商朝 「不靜定構造物」 p.23. 治庭文化社. 1974
5. 橋의 影響線의 理論과 計算法(渡邊昇) p.192. 日本 理工學書 現代社. 1972.
6. 同上書, p.196.
7. 同上書, p.197.

(接受 : 1983. 5. 13)